

АКТИВАЦИОННАЯ МАГНИТОПРОВОДИМОСТЬ В ОБЛАСТИ ДРОБНОГО КВАНТОВАНИЯ ХОЛЛОВСКОГО СОПРОТИВЛЕНИЯ В КРЕМНИЕВОЙ МДП-СТРУКТУРЕ

И.В.Кукушкин, В.Б.Тимофеев, П.А.Черемных

По температурной зависимости диагональной компоненты тензора магнитосопротивления определена щель ΔE в энергетическом спектре взаимодействующих двумерных электронов в сильном поперечном магнитном поле H , отвечающая фактору заполнения $\nu = 2/3$. Установлено, что $\Delta E \sim \sqrt{H}$, в соответствии с теорией, объясняющей дробный квантовый эффект Холла в терминах межэлектронного взаимодействия.

Дробный квантовый эффект Холла в двумерных (2Д-) электронных системах обнаружен в гетеропереходах GaAs – AlGaAs^{1–4} и кремниевых МДП-структур^{5–7} с аномально большой подвижностью носителей и заключается в наблюдении дополнительных минимумов и плато в зависимостях компонент тензора магнитосопротивления ρ_{xx} и ρ_{xy} в области дробных значений фактора заполнения подуровня Ландау $\nu = n_s h/eH$, где n_s – концентрация 2Д-электронов, h – постоянная Планка, e – заряд электрона. Эти особенности были объяснены Лафлинным^{8,9} в терминах конденсации 2Д-электронов в новый тип сильно скоррелированной, несжимаемой ферми-жидкости. Энергия основного состояния системы взаимодействующих электронов имеет минимум при $\nu = 1/3$ и вследствие электронно-дырочной симметрии при $\nu = 2/3$. Изменение концентрации в области $\nu = 1/3$ может быть описано на языке рождения возбуждений – квазиэлектронов и квазидырок с дробным зарядом $e^* = 1/3e$. Несжимаемость ферми-жидкости означает отсутствие бесщелевых возбуждений в рассматриваемой системе и, следовательно, предполагает существование зон квазиэлектронов и квазидырок, отделенных энергетическими щелями от основного состояния. Для определения масштабов этих щелей можно исследовать активационную магнитопроводимость в области дробных значений ν ^{10,11}.

Энергетические щели при целых ν отвечают циклотронному, спиновому и междолинному расщеплению и определяются в структурах с достаточно большой подвижностью носителей из температурной зависимости диагональной компоненты тензора магнитосопротивления $\rho_{xx}^{min} \sim \exp(-W/kT)$, $\Delta E = 2W$, W – энергия активации, ΔE – энергетическая щель¹⁰. Активационные энергии в области дробных ν были определены в гетеропереходах различными авторами^{11–14}, однако из-за отсутствия возможности изменять в широких пределах концентрацию 2Д-электронов в гетеропереходах, все данные были получены в разных экспериментальных условиях и плохо согласуются как между собой, так и с теорией.

Система 2Д-электронов в кремниевых МДП-структур^{5–7} выгодно отличается от системы электронов в гетеропереходах, поскольку возможность изменять n_s позволяет на одной и той же структуре, при фиксированных магнитном поле и других параметрах (в том числе и подвижности μ_e , если изменение n_s происходит вблизи максимума $\mu_e(n_s)$) определить активационную энергию при различных ν . В этой статье мы сообщаем об определении щели в энергетическом спектре 2Д-электронов в кремниевой МДП-структуре при $\nu = 2/3$ и ее изменение от магнитного поля в условиях, когда все остальные параметры системы фиксированы.

В работе исследовалась структура с максимальной подвижностью 2Д-электронов $\mu_e = 3,6 \cdot 10^4 \text{ см}^2/\text{В} \cdot \text{с}$ (при концентрации $n_s = 3 \cdot 10^{11} \text{ см}^{-2}$ и температуре $T = 1,5 \text{ K}$). Зависимость $\mu_e(n_s)$ и другие параметры этой структуры подробно описаны в⁷. Измерения проводились в режиме переменного тока на частоте 20 Гц. Вольт-амперные характеристики вблизи дробных ν оказывались линейными (следовательно отсутствовал перегрев электронной системы) только при измерительном токе $I_0 < 200 \text{ нA}$.

На рис. 1 показаны зависимости $\rho_{xx}(n_s)$ в окрестности $\nu = 2/3$ при $H = 15 \text{ T}$ и различных температурах. При повышении температуры особенность в ρ_{xx} (а также в ρ_{xy}) исчезает.

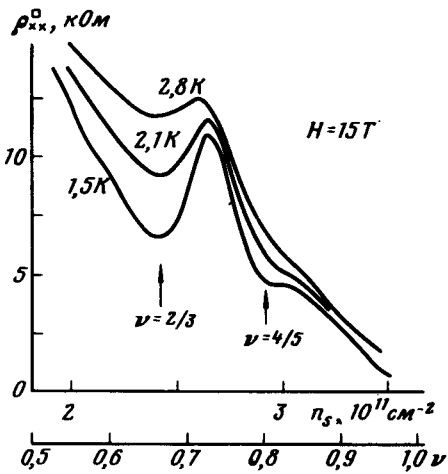


Рис. 1

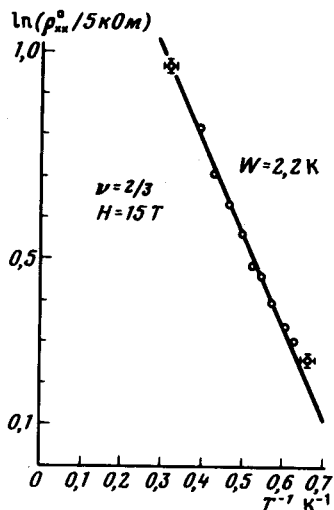


Рис. 2

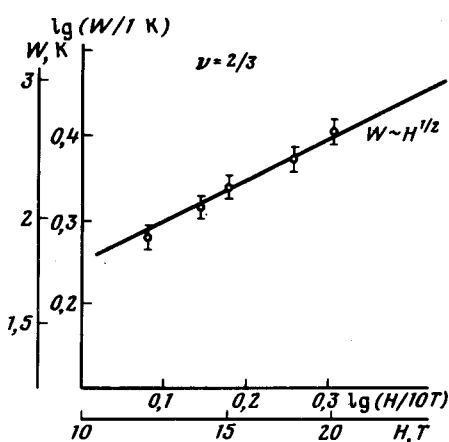


Рис. 3

Рис. 1. Зависимость диагональной компоненты тензора магнитосопротивления ρ_{xx} от концентрации 2Д-электронов при различных температурах: $T = 1,51$ К; $2,10$ К; $2,82$ К

Рис. 2. Температурная зависимость ρ_{xx} в минимуме, отвечающем $\nu = 2/3$ при $H = 15$ Т

Рис. 3. Зависимость энергии активации W от магнитного поля при $\nu = 2/3$ и постоянной подвижности 2Д-электронов $\mu_e = (35 \pm 1) \cdot 10^3$ см²/В · с. Прямая линия отвечает теоретической зависимости $W \sim \sqrt{H}$

Такое же поведение $\rho_{xx}(T)$ наблюдается для всех минимумов ρ_{xx} , обнаруженных в данной МДП-структуре при дробных значениях $\nu = 1/3; 2/3; 4/3; 4/5; 6/5$. Активационный характер магнитопроводимости вблизи $\nu = 2/3$ демонстрирует рис. 2, на котором представлена зависимость $\ln \rho_{xx}$ от обратной температуры. Видно, что экспериментальные точки хорошо ложатся на прямую линию в представленных координатах, что отвечает ожидаемой зависимости $\rho_{xx}^{\min} \sim \exp(-W/kT)$. Отклонение в низкотемпературной области согласуется с экспериментальным результатом, полученным в ¹³, где было показано, что зависимость $\ln \rho_{xx} \div T^{-1}$ состоит из двух прямых линий с различным наклоном, но именно наклон в области более высоких температур отвечает активационной энергии W . Для $\nu = 2/3$ при $H = 15$ Т и $\mu_e = 3,5 \cdot 10^4$ см²/В · с энергия активации оказывается равной $W = 2,2 \pm 0,1$ К. Найденное значение существенно превышает величины, полученные для $\nu = 2/3$ в гетеропереходах: $W = 0,38$ К при $H = 9,6$ Т ¹¹, $W = 1,2$ К при $H = 12$ Т ¹², $W = 0,9$ К при $H = 7,4$ Т ¹³. Этот факт, в частности, связан с тем, что эффективная диэлектрическая проницаемость, входящая в потенциал межэлектронного взаимодействия, для кремниевых МДП-структур составляет $\epsilon = (\epsilon_{Si} + \epsilon_{SiO_2})/2 = 7,7$ ¹⁵ (ϵ_{Si} и ϵ_{SiO_2} – диэлектрические проницаемости кремния и окисла) и почти вдвое превышает соответствующее значение для гетеропереходов GaAs – AlGaAs.

В то же время, полученная нами величина W для $\nu = 2/3$ оказывается существенно меньше теоретически ожидаемых значений: $W_t = 6,6$ К при $H = 15$ Т ⁸. Это обстоятельство может быть связано с тем, что измеряемая в эксперименте величина $\Delta E = 2W$, отвечает энергетичес-

кой щели, отделяющей пороги подвижности, а не соответствующие уровни энергии. Об этом свидетельствует тот факт, что в нашем эксперименте при фиксированном магнитном поле величина энергии активации зависит от подвижности 2Д-электронов и увеличивается с ростом μ_e . Обсуждение этого вопроса и соответствующие экспериментальные результаты будут опубликованы отдельно, однако, ясно, что при определении зависимости $W(H)$ необходимо, чтобы подвижность 2Д-электронов не изменялась. Для нашей МДП-структурь при $2,1 \cdot 10^{11} \text{ см}^{-2} < n_s < 4,2 \cdot 10^{11} \text{ см}^{-2}$ $1,5 \text{ K} < T < 3 \text{ K}$ изменение μ_e не превышает 3%: $\mu_e = (3,5 \pm 0,1) \cdot 10^4 \text{ см}^2/\text{В}\cdot\text{с}$ ⁷. Это позволило для $\nu = 2/3$ менять магнитное поле в интервале от 12 до 20 Т, оставляя неизменными все остальные параметры системы 2Д-электронов. Зависимость $W(H)$, полученная в таких условиях представлена в двойном логарифмическом масштабе на рис. 3. На этом же рисунке для сравнения показана прямая с наклоном $1/2$, в соответствии с теорией Лафлина, в которой $\Delta E \sim e^2 / el_H \sim \sqrt{H}$, где $l_H = \sqrt{\hbar/eH}$ — магнитная длина. Видно, что экспериментальные результаты находятся в хорошем качественном согласии с теорией и описываются зависимостью $W \cong 0,007 e^2 / el_H$.

Найденная величина щели в энергетическом спектре 2Д-электронов в области дробного квантования холловского сопротивления и ее зависимость от магнитного поля указывают на то, что наблюдаемые аномалии магнитотранспортных свойств связаны с эффектами кулоновского взаимодействия 2Д-электронов и согласуются с представлениями о конденсации в новый тип сильно скоррелированной ферми-жидкости.

В заключение авторы выражают благодарность Ю.А.Бычкову, Ю.А.Осипьяну, Э.И.Рашба, Д.И.Хмельницкому за чрезвычайно полезные дискуссии, а также М.Г.Гаврилову, А.Н.Кулямину и В.В.Степанову за содействие.

Литература

1. Tsui D.C., Störmer H.L., Gossard A.C. Phys. Rev. Lett., 1982, **48**, 1559.
2. Störmer H.L., Chang A., Tsui D.C., Hwang J.C.M., Gossard A.C., Wiegmann W. Phys. Rev. Lett., 1983, **50**, 1219.
3. Störmer H.L., Tsui D.C., Gossard A.C., Hwang J.C.M. Physica, 1983, **117B/118B**, 688.
4. Gossard A.C. Two dimensional systems, heterostructures and superlattices. Springer series in Solid State Sciences, 1984, **53**, 262.
5. Пудалов В.М., Семенчинский С.Г. Письма в ЖЭТФ, 1984, **39**, 143.
6. Гаврилов М.Г., Квон З.Д., Кукушкин И.В., Тимофеев В.Б. Письма в ЖЭТФ, 1984, **39**, 420.
7. Кукушкин И.В., Тимофеев В.Б., Черемных П.А. ЖЭТФ, 1984, **87**, 2223.
8. Laughlin R.B. Phys. Rev. Lett., 1983, **50**, 1395.
9. Laughlin R.B. Surf. Sci., 1984, **142**, 163.
10. Von Klitzing K., Ebert G., Kleimichel N., Obloch H., Dorda G., Weiman G. Proc. 17-th Int. Conf. Phys. Semic., San Francisco, USA, 1984,
11. Tsui D.C., Störmer H.L., Hwang J.C.M., Brooks J.S., Naughton M.J. Phys. Rev., 1983, **B28**, 2274.
12. Chang A.M., Paalanen M.A., Tsui D.C., Störmer H.L., Hwang J.C.M. Phys. Rev., 1983, **B28**, 6133.
13. Kawaji S., Wakabayashi J., Yoshiro J., Sakaki H. J. Phys. Soc. Japan, 1984, **53**, 1915.
14. Ebert G., Von Klitzing K., Maan J.C., Remenyi G., Probst C., Weiman G., Schlapp W. J. Phys., 1984, **C17**, L775.
15. Ando T., Fowler A.B., Stern F. Rev. Mod. Phys., 1982, **54**, 437.

Институт физики твердого тела
Академии наук СССР

Институт атомной энергии им. И.В.Курчатова

264

Поступила в редакцию
14 февраля 1985 г.